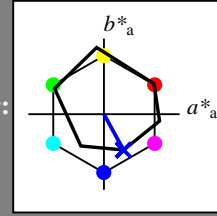


Ein und Ausgabe: Farbmetrisches Drucker-Reflektiv-System ORS20_95, L*=20_95 für relativen CIELAB-Buntton $h^* = lab^*h^* = h_{ab}/360 = 0.83$ $u^*_d = v00m$

Daten für jede Farbe:
 lab^*tch^* und lab^*icu^*
 Bunttontexte:
 $u^*_d = v00m$ $u^*_e = b23r$
 Kontrastreduzierungsfaktor:
 $c_R = 1.0$
 Dreiecks-Helligkeit i^*



ORS20_95a; adaptierte CIELAB-Daten

	u^*_d	$L^*=L^*_a$	a^*_a	b^*_a	$C^*_{ab,a}$	$h^*_{ab,a}$
O _{Ma}	46.89	66.19	40.28	77.48	31	
Y _{Ma}	88.66	-9.62	88.21	88.73	96	
L _{Ma}	54.22	-65.29	33.87	73.56	153	
C _{Ma}	61.43	-30.53	-42.04	51.96	234	
V _{Ma}	25.93	25.95	-47.37	54.01	299	
M _{Ma}	47.92	73.53	-9.02	74.08	353	
N _{Ma}	20.41	0.0	0.0	0.0	0	
W _{Ma}	94.64	0.0	0.0	0.0	0	
O _{Ma}	39.92	58.74	27.99	65.07	25	
Y _{Ma}	81.26	-2.89	71.56	71.62	92	
L _{Ma}	52.23	-42.42	13.6	44.55	162	
V _{Ma}	30.57	1.41	-46.47	46.49	272	

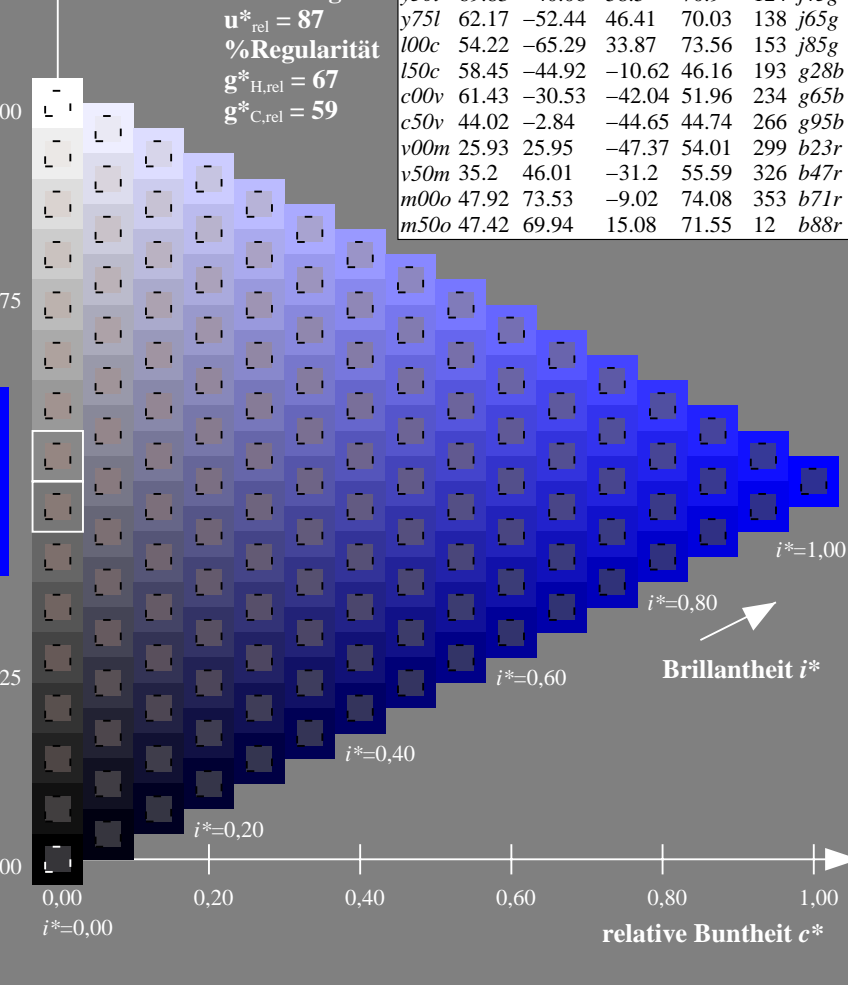
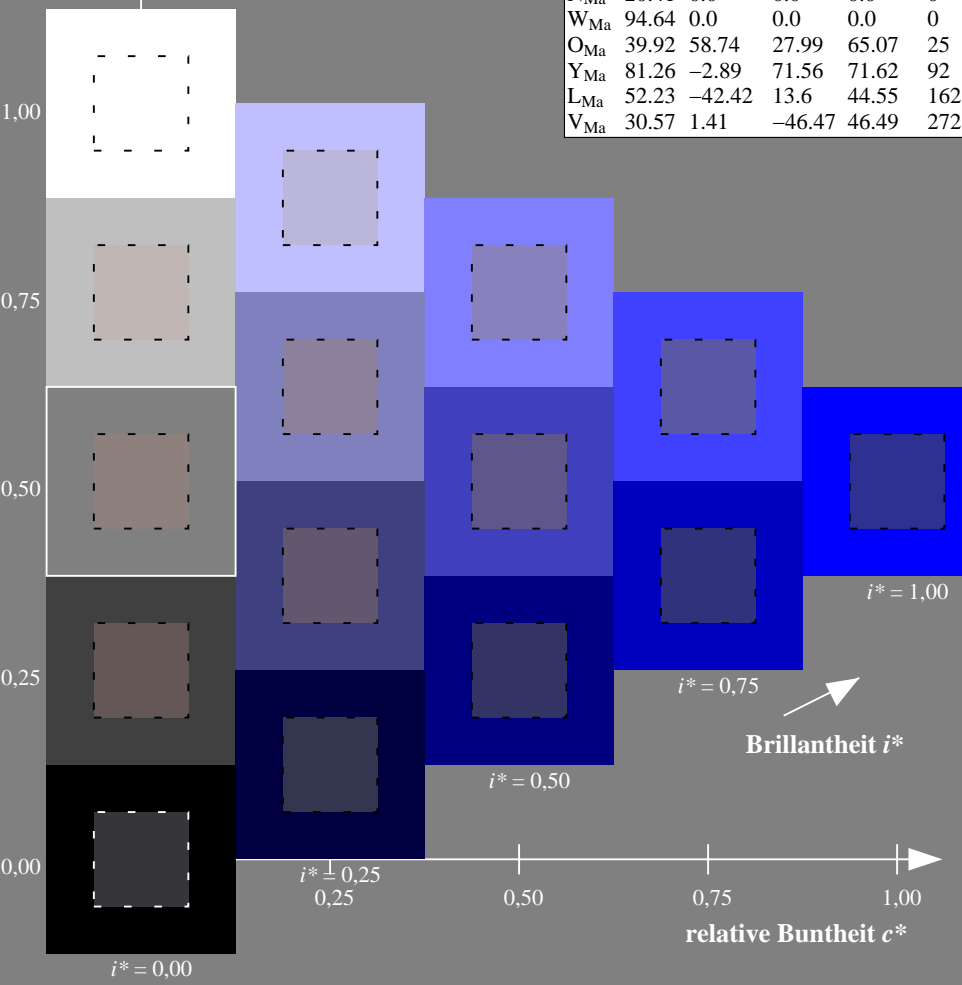
Daten für Maximalfarbe (Ma):

$LAB^*LAB^*_{Ma}$: 26 26 -47
 $LAB^*LCH^*_{Ma}$: 26 54 298
 $lab^*olv^*_{Ma}$: 0.0 0.0 1.0
 $lab^*rgb^*_{Ma}$: 0.47 0.0 1.0

ORS20_95a; adaptierte CIELAB-Daten

	u^*_d	$L^*=L^*_a$	a^*_a	b^*_a	$C^*_{ab,a}$	$h^*_{ab,a}$	u^*_e
<i>o00y</i>	46.89	66.19	40.28	77.48	31		<i>r09j</i>
<i>o25y</i>	57.13	47.6	52.04	70.52	48		<i>r33j</i>
<i>o50y</i>	66.36	30.85	62.62	69.81	64		<i>r57j</i>
<i>o75y</i>	76.18	13.03	73.89	75.03	80		<i>r81j</i>
<i>y00l</i>	88.66	-9.62	88.21	88.73	96		<i>j06g</i>
<i>y25l</i>	78.19	-26.54	71.69	76.45	110		<i>j25g</i>
<i>y50l</i>	69.83	-40.06	58.5	70.9	124		<i>j45g</i>
<i>y75l</i>	62.17	-52.44	46.41	70.03	138		<i>j65g</i>
<i>l00c</i>	54.22	-65.29	33.87	73.56	153		<i>j85g</i>
<i>l50c</i>	58.45	-44.92	-10.62	46.16	193		<i>g28b</i>
<i>c00v</i>	61.43	-30.53	-42.04	51.96	234		<i>g65b</i>
<i>c50v</i>	44.02	-2.84	-44.65	44.74	266		<i>g95b</i>
<i>v00m</i>	25.93	25.95	-47.37	54.01	299		<i>b23r</i>
<i>v50m</i>	35.2	46.01	-31.2	55.59	326		<i>b47r</i>
<i>m00o</i>	47.92	73.53	-9.02	74.08	353		<i>b71r</i>
<i>m50o</i>	47.42	69.94	15.08	71.55	12		<i>b88r</i>

Dreiecks-Helligkeit i^*
 %Umfang
 $u^*_{rel} = 87$
 %Regularität
 $g^*_{H,rel} = 67$
 $g^*_{C,rel} = 59$

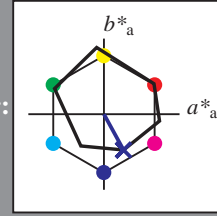


Siehe ähnliche Dateien: <http://www.ps.bam.de/Fg58/>; [http://www.ps.bam.de/Version 2.1, io=1,1, Colspx=1](http://www.ps.bam.de/Version%202.1,%20io=1,1,Colspx=1)
 Technische Information: <http://www.ps.bam.de>

BAM-Registrierung: 20081001-Fg58/10L/L58g00NP.PDF/ .PS BAM-Material: Code=rh4ta
 Anwendung für Beurteilung und Messung von Drucker- oder Monitorssystemen

Ein und Ausgabe: Farbmetrisches Drucker-Reflektiv-System ORS20_95, L*=20_95 für relativen CIELAB-Buntton $h^* = lab^*h^* = h_{ab}/360 = 0.83$ $u^*_d = v00m$

Daten für jede Farbe:
 lab^*ch^* und lab^*icu^*
 Bunttontexte:
 $u^*_d = v00m$ $u^*_e = b23r$
 Kontrastreduzierungsfaktor:
 $c_R = 1.0$
 Dreiecks-Helligkeit i^*



ORS20_95a; adaptierte CIELAB-Daten

	u^*_d	$L^*=L^*_a$	a^*_a	b^*_a	$C^*_{ab,a}$	$h^*_{ab,a}$
O _{Ma}	46.89	66.19	40.28	77.48	31	31
Y _{Ma}	88.66	-9.62	88.21	88.73	96	96
L _{Ma}	54.22	-65.29	33.87	73.56	153	153
C _{Ma}	61.43	-30.53	-42.04	51.96	234	234
V _{Ma}	25.93	25.95	-47.37	54.01	299	299
M _{Ma}	47.92	73.53	-9.02	74.08	353	353
N _{Ma}	20.41	0.0	0.0	0.0	0	0
W _{Ma}	94.64	0.0	0.0	0.0	0	0
O _{Ma}	39.92	58.74	27.99	65.07	25	25
Y _{Ma}	81.26	-2.89	71.56	71.62	92	92
L _{Ma}	52.23	-42.42	13.6	44.55	162	162
V _{Ma}	30.57	1.41	-46.47	46.49	272	272

Daten für Maximalfarbe (Ma):

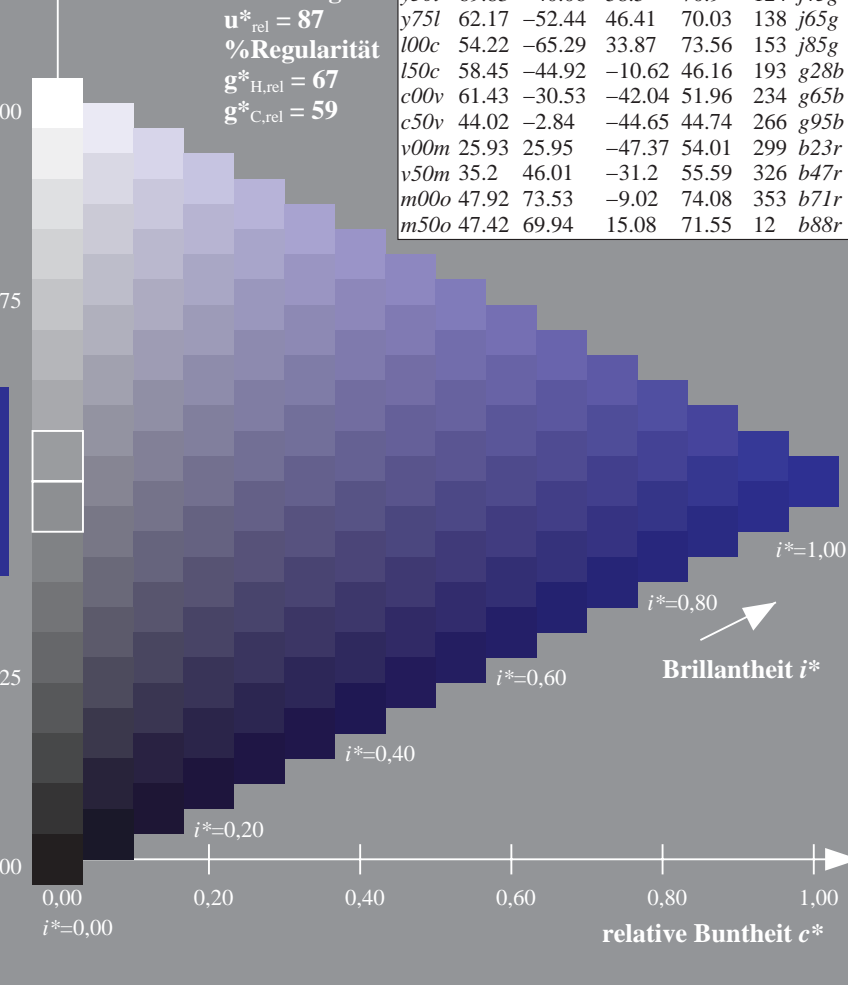
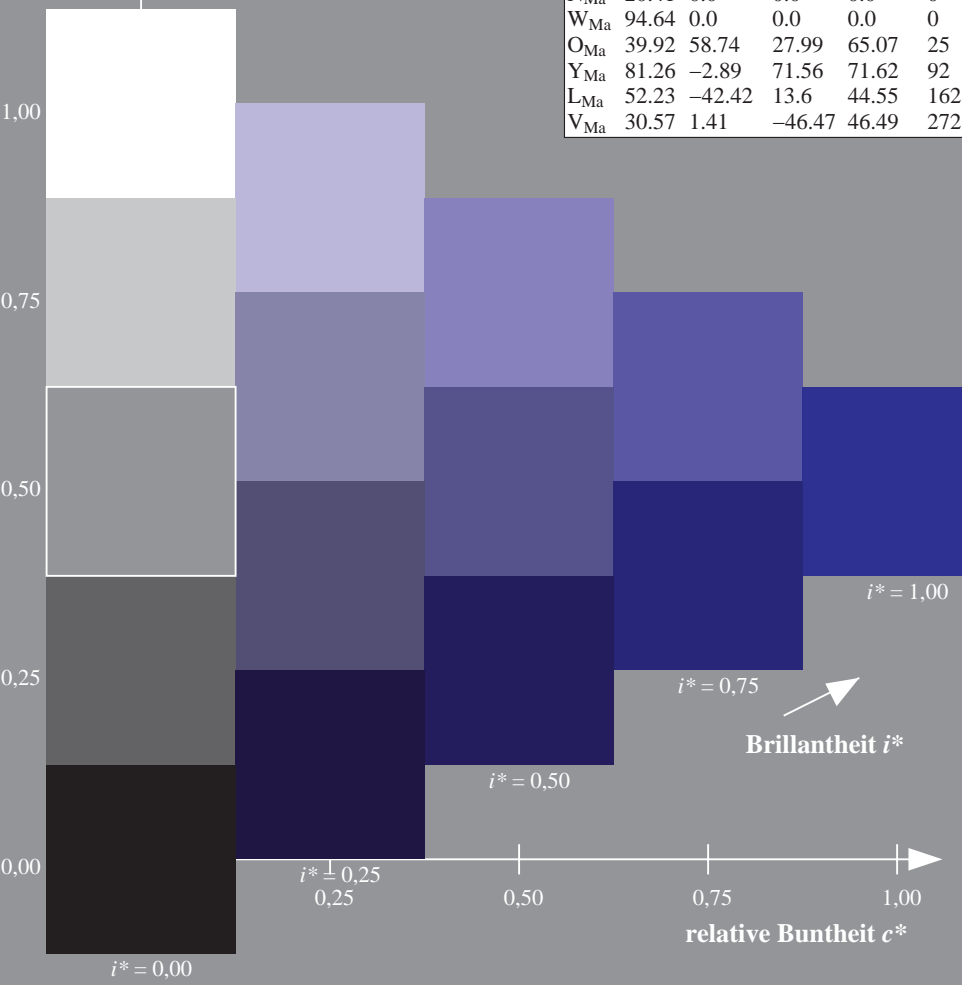
$LAB^*LAB^*_{Ma}$: 26 26 -47
 $LAB^*LCH^*_{Ma}$: 26 54 298
 $lab^*olv^*_{Ma}$: 0.0 0.0 1.0
 $lab^*rgb^*_{Ma}$: 0.47 0.0 1.0

ORS20_95a; adaptierte CIELAB-Daten

	u^*_d	$L^*=L^*_a$	a^*_a	b^*_a	$C^*_{ab,a}$	$h^*_{ab,a}$	u^*_e
<i>o00y</i>	46.89	66.19	40.28	77.48	31	31	<i>r09j</i>
<i>o25y</i>	57.13	47.6	52.04	70.52	48	48	<i>r33j</i>
<i>o50y</i>	66.36	30.85	62.62	69.81	64	64	<i>r57j</i>
<i>o75y</i>	76.18	13.03	73.89	75.03	80	80	<i>r81j</i>
<i>y00l</i>	88.66	-9.62	88.21	88.73	96	96	<i>j06g</i>
<i>y25l</i>	78.19	-26.54	71.69	76.45	110	110	<i>j25g</i>
<i>y50l</i>	69.83	-40.06	58.5	70.9	124	124	<i>j45g</i>
<i>y75l</i>	62.17	-52.44	46.41	70.03	138	138	<i>j65g</i>
<i>l00c</i>	54.22	-65.29	33.87	73.56	153	153	<i>j85g</i>
<i>l50c</i>	58.45	-44.92	-10.62	46.16	193	193	<i>g28b</i>
<i>c00v</i>	61.43	-30.53	-42.04	51.96	234	234	<i>g65b</i>
<i>c50v</i>	44.02	-2.84	-44.65	44.74	266	266	<i>g95b</i>
<i>v00m</i>	25.93	25.95	-47.37	54.01	299	299	<i>b23r</i>
<i>v50m</i>	35.2	46.01	-31.2	55.59	326	326	<i>b47r</i>
<i>m00o</i>	47.92	73.53	-9.02	74.08	353	353	<i>b71r</i>
<i>m50o</i>	47.42	69.94	15.08	71.55	12	12	<i>b88r</i>

Dreiecks-Helligkeit i^*

%Umfang
 $u^*_{rel} = 87$
 %Regularität
 $g^*_{H,rel} = 67$
 $g^*_{C,rel} = 59$



Siehe ähnliche Dateien: <http://www.ps.bam.de/Fg58/>; [www.ps.bam.de/Version 2.1, io=1,1, Colspx=1](http://www.ps.bam.de/Version2.1,io=1,1,Colspx=1)
 Technische Information: <http://www.ps.bam.de>

BAM-Registrierung: 20081001-Fg58/10L/L58g00NP.PDF/ .PS BAM-Material: Code=rh4ta
 Anwendung für Beurteilung und Messung von Drucker- oder Monitorssystemen

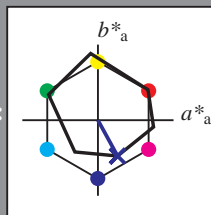
Ein und Ausgabe: Farbmetrisches Drucker-Reflektiv-System ORS20_95, L*=20_95 für relative CIELAB-Bunnton $h^* = lab^*h^* = h_{ab}^*/360 = 0.83$ $u^*_d = v00m$
 lab^*olv^*

Daten für jede Farbe:
 lab^*tch^* und lab^*icu^*

Bunntontexte:
 $u^*_d = v00m$ $u^*_e = b23r$

Kontrastreduzierungsfaktor:
 $c_R = 1.0$

Dreiecks-Helligkeit i^*



ORS20_95a; adaptierte CIELAB-Daten

u^*_d	$L^*=L^*_a$	a^*_a	b^*_a	$C^*_{ab,a}$	$h^*_{ab,a}$
O _{Ma}	46.89	66.19	40.28	77.48	31
Y _{Ma}	88.66	-9.62	88.21	88.73	96
L _{Ma}	54.22	-65.29	33.87	73.56	153
C _{Ma}	61.43	-30.53	-42.04	51.96	234
V _{Ma}	25.93	25.95	-47.37	54.01	299
M _{Ma}	47.92	73.53	-9.02	74.08	353
N _{Ma}	20.41	0.0	0.0	0.0	0
W _{Ma}	94.64	0.0	0.0	0.0	0
O _{Ma}	39.92	58.74	27.99	65.07	25
Y _{Ma}	81.26	-2.89	71.56	71.62	92
L _{Ma}	52.23	-42.42	13.6	44.55	162
V _{Ma}	30.57	1.41	-46.47	46.49	272

Daten für Maximalfarbe (Ma):

$LAB^*LAB^*_{Ma}$: 26 26 -47

$LAB^*LCH^*_{Ma}$: 26 54 298

$lab^*olv^*_{Ma}$: 0.0 0.0 1.0

$lab^*rgb^*_{Ma}$: 0.47 0.0 1.0

Dreiecks-Helligkeit i^*

%Umfang

$u^*_{rel} = 87$

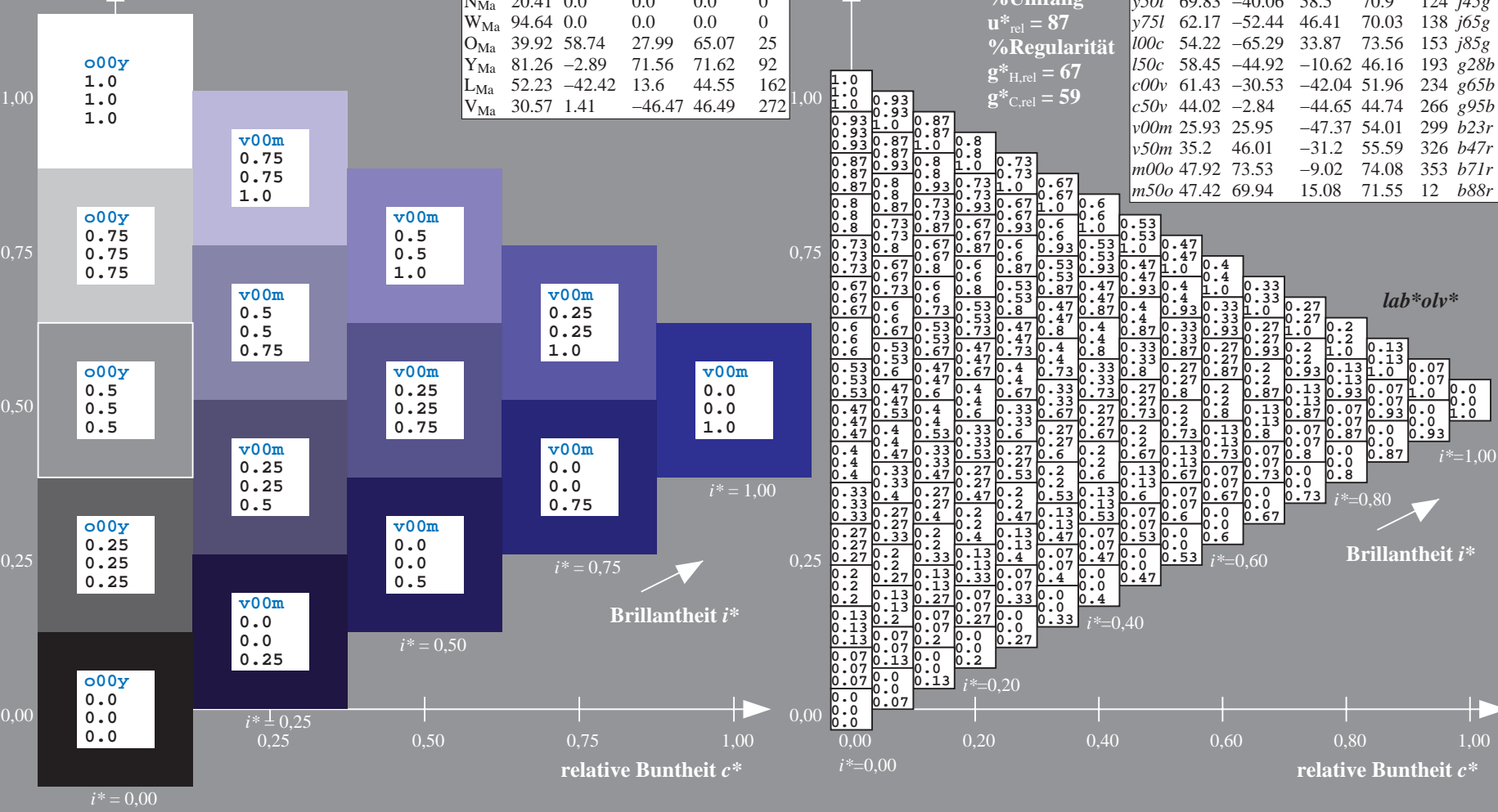
%Regularität

$g^*_{H,rel} = 67$

$g^*_{C,rel} = 59$

ORS20_95a; adaptierte CIELAB-Daten

u^*_d	$L^*=L^*_a$	a^*_a	b^*_a	$C^*_{ab,a}$	$h^*_{ab,a}$	u^*_e
o00y	46.89	66.19	40.28	77.48	31	r09j
a25y	57.13	47.6	52.04	70.52	48	r33j
a50y	66.36	30.85	62.62	69.81	64	r57j
o75y	76.18	13.03	73.89	75.03	80	r81j
y00l	88.66	-9.62	88.21	88.73	96	j06g
y25l	78.19	-26.54	71.69	76.45	110	j25g
y50l	69.83	-40.06	58.5	70.9	128	j45g
y75l	62.17	-52.44	46.41	70.03	134	j65g
l00c	54.22	-65.29	33.87	73.56	153	j85g
l50c	58.45	-44.92	-10.62	46.16	193	g28b
c00v	61.43	-30.53	-42.04	51.96	234	g65b
c50v	44.02	-2.84	-44.65	44.74	266	g95b
v00m	25.93	25.95	-47.37	54.01	299	b23r
v50m	35.2	46.01	-31.2	55.59	326	b47r
m00o	47.92	73.53	-9.02	74.08	353	b71r
m50o	47.42	69.94	15.08	71.55	12	b88r



BAM-Registrierung: 20081001-Fg58/10L/L58g00NP.PDF/.PS BAM-Material: Code=rhatha
 Anwendung für Beurteilung und Messung von Drucker- oder Monitorssystemen

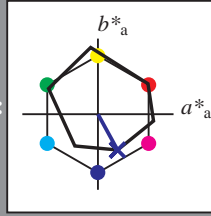
Ein und Ausgabe: Farbmetrisches Drucker-Reflektiv-System ORS20_95, L*=20_95 für relative CIELAB-Bunnton $h^* = lab^*h^* = h_{ab}^*/360 = 0.83$ $u^*_d = v00m$

Daten für jede Farbe: lab^*tch^* und lab^*icu^*

Bunntontexte: $u^*_d = v00m$ $u^*_e = b23r$

Kontrastreduzierungsfaktor: $c_R = 1.0$

Dreiecks-Helligkeit i^*



ORS20_95a; adaptierte CIELAB-Daten

	u^*_d	$L^*=L^*_a$	a^*_a	b^*_a	$C^*_{ab,a}$	$h^*_{ab,a}$
O _{Ma}	46.89	66.19	40.28	77.48	31	
Y _{Ma}	88.66	-9.62	88.21	88.73	96	
L _{Ma}	54.22	-65.29	33.87	73.56	153	
C _{Ma}	61.43	-30.53	-42.04	51.96	234	
V _{Ma}	25.93	25.95	-47.37	54.01	299	
M _{Ma}	47.92	73.53	-9.02	74.08	353	
N _{Ma}	20.41	0.0	0.0	0.0	0	
W _{Ma}	94.64	0.0	0.0	0.0	0	
O _{Ma}	39.92	58.74	27.99	65.07	25	
Y _{Ma}	81.26	-2.89	71.56	71.62	92	
L _{Ma}	52.23	-42.42	13.6	44.55	162	
V _{Ma}	30.57	1.41	-46.47	46.49	272	

Daten für Maximalfarbe (Ma):

$LAB^*LAB^*_{Ma}$: 26 26 -47

$LAB^*LCH^*_{Ma}$: 26 54 298

$lab^*olv^*_{Ma}$: 0.0 0.0 1.0

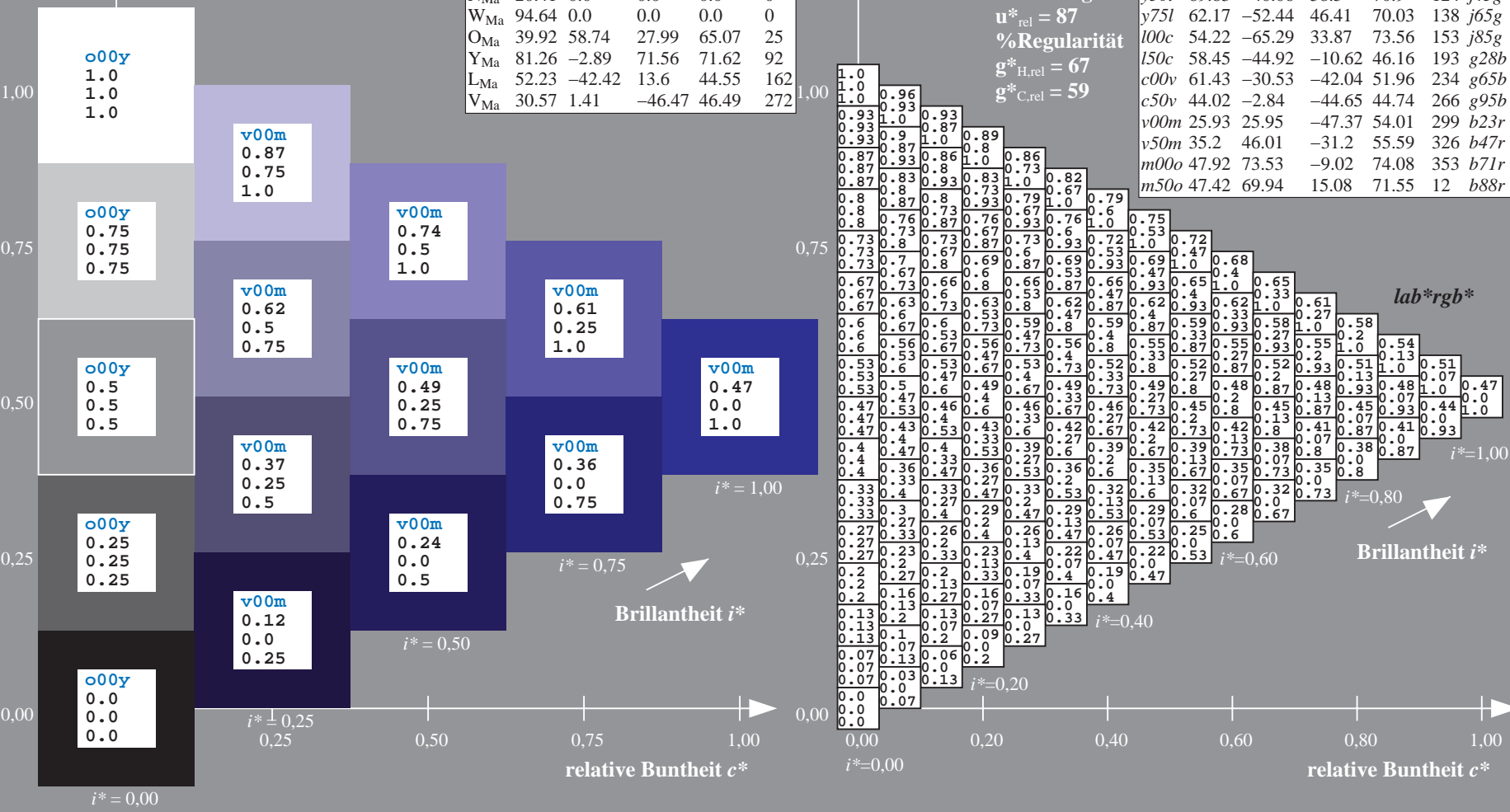
$lab^*rgb^*_{Ma}$: 0.47 0.0 1.0

Dreiecks-Helligkeit i^*

%Umfang
 $u^*_{rel} = 87$
 %Regularität
 $g^*_{H,rel} = 67$
 $g^*_{C,rel} = 59$

ORS20_95a; adaptierte CIELAB-Daten

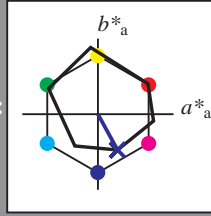
	u^*_d	$L^*=L^*_a$	a^*_a	b^*_a	$C^*_{ab,a}$	$h^*_{ab,a}$	u^*_e
o00y	46.89	66.19	40.28	77.48	31	r09j	
a25y	57.13	47.6	52.04	70.52	48	r33j	
a50y	66.36	30.85	62.62	69.81	64	r57j	
o75y	76.18	13.03	73.89	75.03	80	r81j	
y00l	88.66	-9.62	88.21	88.73	96	j06g	
y25l	78.19	-26.54	71.69	76.45	110	j25g	
y50l	69.83	-40.06	58.5	70.9	128	j45g	
y75l	62.17	-52.44	46.41	70.03	134	j65g	
l00c	54.22	-65.29	33.87	73.56	153	j85g	
l50c	58.45	-44.92	-10.62	46.16	193	g28b	
c00v	61.43	-30.53	-42.04	51.96	234	g65b	
c50v	44.02	-2.84	-44.65	44.74	266	g95b	
v00m	25.93	25.95	-47.37	54.01	299	b23r	
v50m	35.2	46.01	-31.2	55.59	326	b47r	
m00o	47.92	73.53	-9.02	74.08	353	b71r	
m50o	47.42	69.94	15.08	71.55	12	b88r	



BAM-Registrierung: 20081001-Fg58/10L/L58g00NP.PDF/.PS BAM-Material: Code=rh4ta
 Anwendung für Beurteilung und Messung von Drucker- oder Monitorssystemen

Ein und Ausgabe: Farbmetrisches Drucker-Reflektiv-System ORS20_95, L*=20_95 für relativen CIELAB-Buntton $h^* = lab^*h^* = h_{ab}^*/360 = 0.83$ $u^*_d = v00m$

Daten für jede Farbe:
 lab^*ch^* und lab^*icu^*
 Bunttontexte:
 $u^*_d = v00m$ $u^*_e = b23r$
 Kontrastreduzierungsfaktor:
 $c_R = 1.0$
 Dreiecks-Helligkeit i^*



ORS20_95a; adaptierte CIELAB-Daten

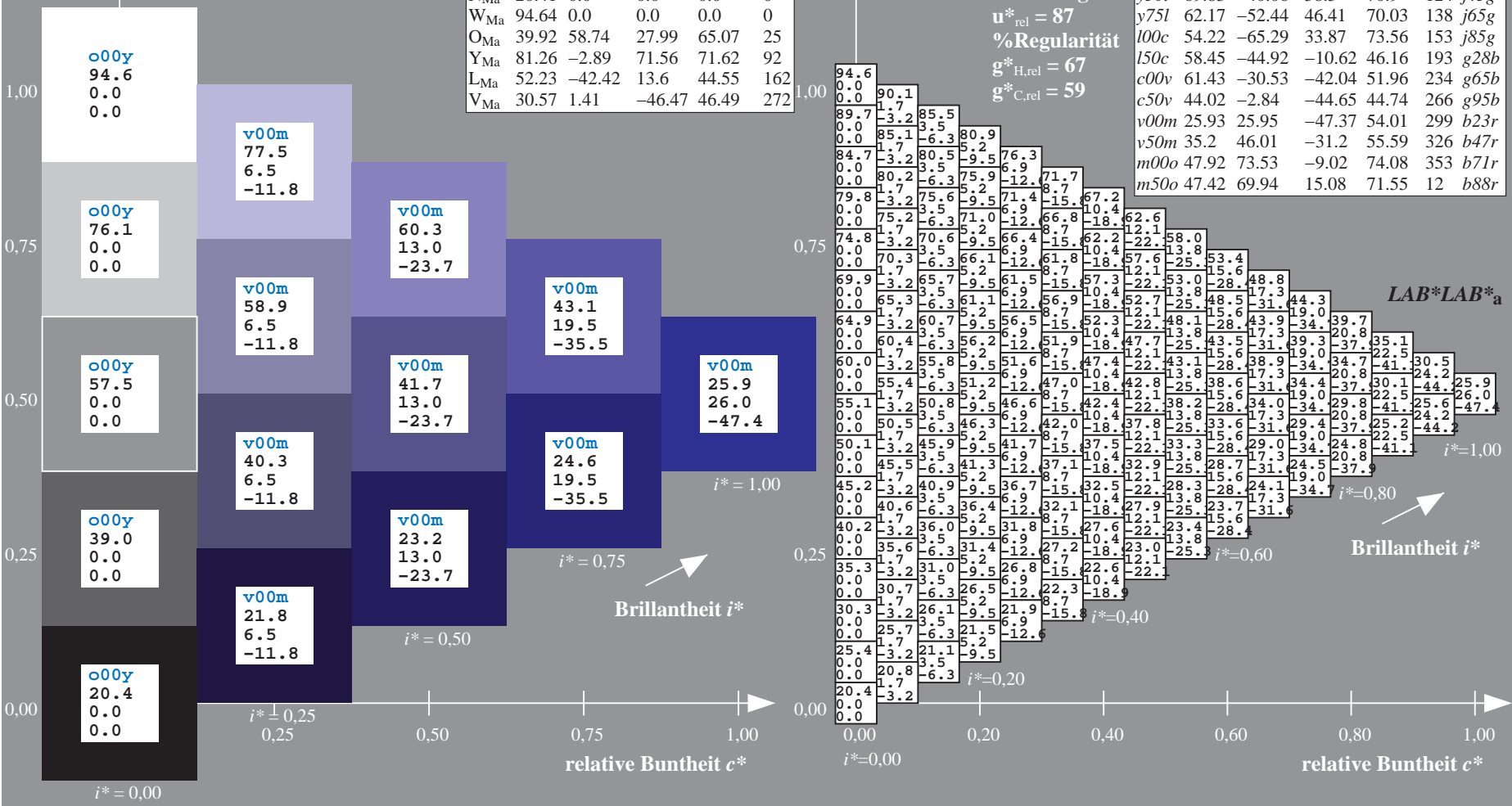
	u^*_d	$L^*=L^*_a$	a^*_a	b^*_a	$C^*_{ab,a}$	$h^*_{ab,a}$
O _{Ma}	46.89	66.19	40.28	77.48	31	
Y _{Ma}	88.66	-9.62	88.21	88.73	96	
L _{Ma}	54.22	-65.29	33.87	73.56	153	
C _{Ma}	61.43	-30.53	-42.04	51.96	234	
V _{Ma}	25.93	25.95	-47.37	54.01	299	
M _{Ma}	47.92	73.53	-9.02	74.08	353	
N _{Ma}	20.41	0.0	0.0	0.0	0	
W _{Ma}	94.64	0.0	0.0	0.0	0	
O _{Ma}	39.92	58.74	27.99	65.07	25	
Y _{Ma}	81.26	-2.89	71.56	71.62	92	
L _{Ma}	52.23	-42.42	13.6	44.55	162	
V _{Ma}	30.57	1.41	-46.47	46.49	272	

Daten für Maximalfarbe (Ma):
 $LAB^*LAB^*_{Ma}$: 26 26 -47
 $LAB^*LCH^*_{Ma}$: 26 54 298
 $lab^*olv^*_{Ma}$: 0.0 0.0 1.0
 $lab^*rgb^*_{Ma}$: 0.47 0.0 1.0
 Dreiecks-Helligkeit i^*

ORS20_95a; adaptierte CIELAB-Daten

	u^*_d	$L^*=L^*_a$	a^*_a	b^*_a	$C^*_{ab,a}$	$h^*_{ab,a}$	u^*_e
o00y	46.89	66.19	40.28	77.48	31	r09j	
o25y	57.13	47.6	52.04	70.52	48	r33j	
o50y	66.36	30.85	62.62	69.81	64	r57j	
o75y	76.18	13.03	73.89	75.03	80	r81j	
y00l	88.66	-9.62	88.21	88.73	96	j06g	
y25l	78.19	-26.54	71.69	76.45	110	j25g	
y50l	69.83	-40.06	58.5	70.9	128	j45g	
y75l	62.17	-52.44	46.41	70.03	134	j65g	
l00c	54.22	-65.29	33.87	73.56	153	j85g	
l50c	58.45	-44.92	-10.62	46.16	193	g28b	
c00v	61.43	-30.53	-42.04	51.96	234	g65b	
c50v	44.02	-2.84	-44.65	44.74	266	g95b	
v00m	25.93	25.95	-47.37	54.01	299	b23r	
v50m	35.2	46.01	-31.2	55.59	326	b47r	
m00o	47.92	73.53	-9.02	74.08	353	b71r	
m50o	47.42	69.94	15.08	71.55	12	b88r	

%Umfang
 $u^*_{rel} = 87$
 %Regularität
 $g^*_{H,rel} = 67$
 $g^*_{C,rel} = 59$



BAM-Registrierung: 20081001-Fg58/10L/L58g00NP.PDF/.PS BAM-Material: Code=rh4ta
 Anwendung für Beurteilung und Messung von Drucker- oder Monitorssystemen

Ein und Ausgabe: Farbmetrisches Drucker-Reflektiv-System ORS20_95, L*=20_95 für relative CIELAB-Buntton $h^* = lab^*h^* = h_{ab}/360 = 0.83$

Daten für jede Farbe:

lab^*tch^* und lab^*icu^*

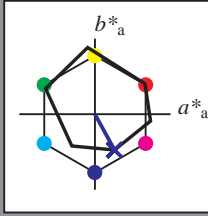
Bunttontexte:

$u^*_d = v00m$ $u^*_e = b23r$

Kontrastreduzierungsfaktor:

$c_R = 1.0$

Dreiecks-Helligkeit i^*



ORS20_95a; adaptierte CIELAB-Daten

	u^*_d	$L^*=L^*_a$	a^*_a	b^*_a	$C^*_{ab,a}$	$h^*_{ab,a}$
O _{Ma}	46.89	66.19	40.28	77.48	31	
Y _{Ma}	88.66	-9.62	88.21	88.73	96	
L _{Ma}	54.22	-65.29	33.87	73.56	153	
C _{Ma}	61.43	-30.53	-42.04	51.96	234	
V _{Ma}	25.93	25.95	-47.37	54.01	299	
M _{Ma}	47.92	73.53	-9.02	74.08	353	
N _{Ma}	20.41	0.0	0.0	0.0	0	
W _{Ma}	94.64	0.0	0.0	0.0	0	
O _{Ma}	39.92	58.74	27.99	65.07	25	
Y _{Ma}	81.26	-2.89	71.56	71.62	92	
L _{Ma}	52.23	-42.42	13.6	44.55	162	
V _{Ma}	30.57	1.41	-46.47	46.49	272	

Daten für Maximalfarbe (Ma):

$LAB^*LAB^*_Ma$: 26 26 -47

$LAB^*LCH^*_Ma$: 26 54 298

$lab^*olv^*_Ma$: 0.0 0.0 1.0

$lab^*rgb^*_Ma$: 0.47 0.0 1.0

Dreiecks-Helligkeit i^*

%Umfang

$u^*_{rel} = 87$

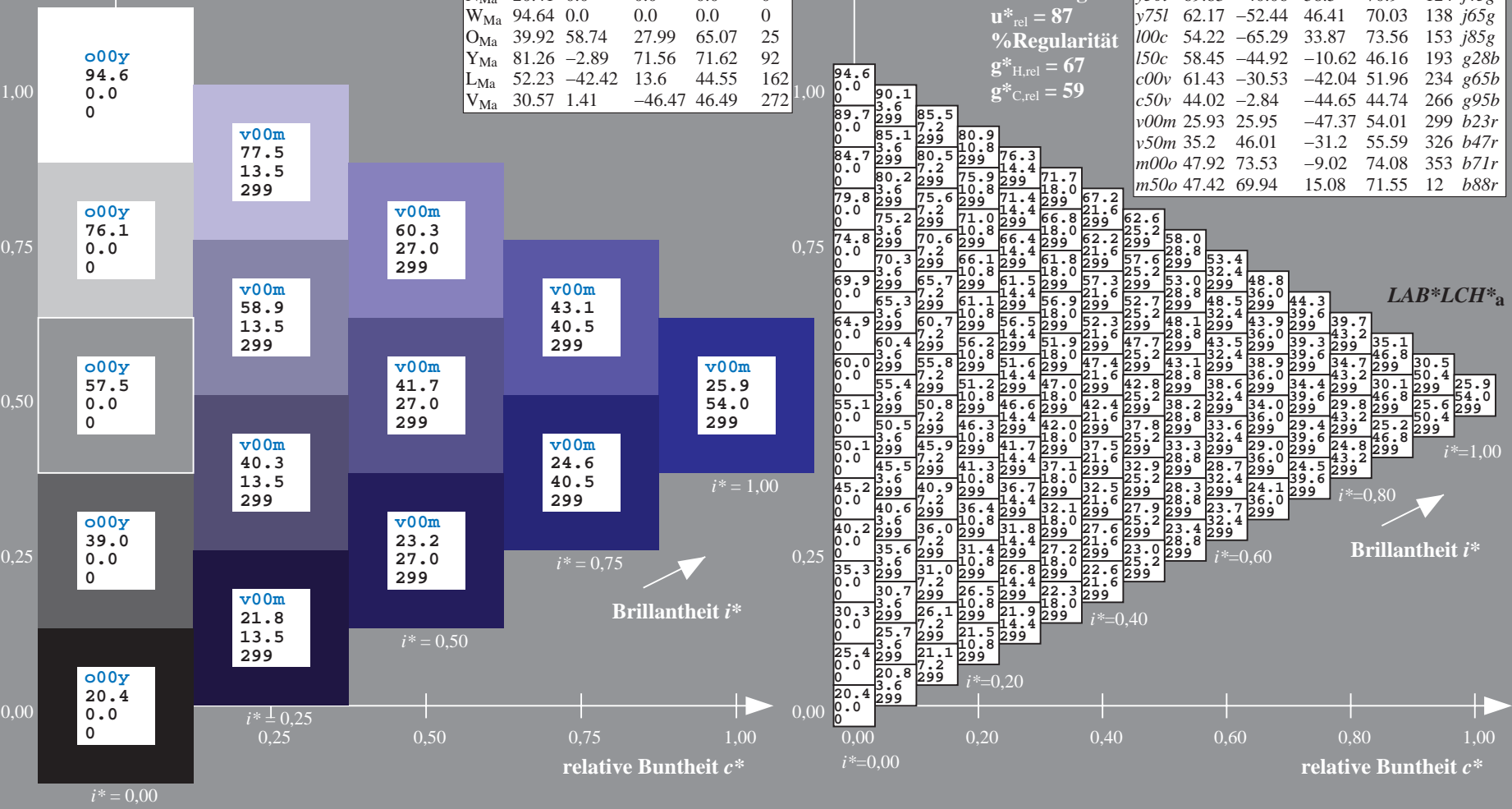
%Regularität

$g^*_{H,rel} = 67$

$g^*_{C,rel} = 59$

ORS20_95a; adaptierte CIELAB-Daten

	u^*_d	$L^*=L^*_a$	a^*_a	b^*_a	$C^*_{ab,a}$	$h^*_{ab,a}$	u^*_e
o00y	46.89	66.19	40.28	77.48	31	r09j	
o25y	57.13	47.6	52.04	70.52	48	r33j	
o50y	66.36	30.85	62.62	69.81	64	r57j	
o75y	76.18	13.03	73.89	75.03	80	r81j	
y00l	88.66	-9.62	88.21	88.73	96	j06g	
y25l	78.19	-26.54	71.69	76.45	110	j25g	
y50l	69.83	-40.06	58.5	70.9	128	j45g	
y75l	62.17	-52.44	46.41	70.03	134	j65g	
l00c	54.22	-65.29	33.87	73.56	153	j85g	
l50c	58.45	-44.92	-10.62	46.16	193	g28b	
c00v	61.43	-30.53	-42.04	51.96	234	g65b	
c50v	44.02	-2.84	-44.65	44.74	266	g95b	
v00m	25.93	25.95	-47.37	54.01	299	b23r	
v50m	35.2	46.01	-31.2	55.59	326	b47r	
m00o	47.92	73.53	-9.02	74.08	353	b71r	
m50o	47.42	69.94	15.08	71.55	12	b88r	



BAM-Registrierung: 20081001-Fg58/10L/L58g00NP.PDF/.PS BAM-Material: Code=rh4ta
Anwendung für Beurteilung und Messung von Drucker- oder Monitorssystemen

Ein und Ausgabe: Farbmetrisches Drucker-Reflektiv-System ORS20_95, L*=20_95 für relative CIELAB-Buntton $h^* = lab^*h^* = h_{ab}^*/360 = 0.83$

Daten für jede Farbe:

lab^*tch^* und lab^*icu^*

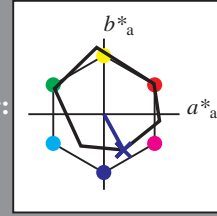
Bunttontexte:

$u^*_d = v00m$ $u^*_e = b23r$

Kontrastreduzierungsfaktor:

$c_R = 1.0$

Dreiecks-Helligkeit i^*



ORS20_95a; adaptierte CIELAB-Daten

	u^*_d	$L^*=L^*_a$	a^*_a	b^*_a	$C^*_{ab,a}$	$h^*_{ab,a}$
O _{Ma}	46.89	66.19	40.28	77.48	31	
Y _{Ma}	88.66	-9.62	88.21	88.73	96	
L _{Ma}	54.22	-65.29	33.87	73.56	153	
C _{Ma}	61.43	-30.53	-42.04	51.96	234	
V _{Ma}	25.93	25.95	-47.37	54.01	299	
M _{Ma}	47.92	73.53	-9.02	74.08	353	
N _{Ma}	20.41	0.0	0.0	0.0	0	
W _{Ma}	94.64	0.0	0.0	0.0	0	
O _{Ma}	39.92	58.74	27.99	65.07	25	
Y _{Ma}	81.26	-2.89	71.56	71.62	92	
L _{Ma}	52.23	-42.42	13.6	44.55	162	
V _{Ma}	30.57	1.41	-46.47	46.49	272	

Daten für Maximalfarbe (Ma):

$LAB^*LAB^*_{Ma}$: 26 26 -47

$LAB^*LCH^*_{Ma}$: 26 54 298

$lab^*olv^*_{Ma}$: 0.0 0.0 1.0

$lab^*rgb^*_{Ma}$: 0.47 0.0 1.0

Dreiecks-Helligkeit i^*

%Umfang

$u^*_{rel} = 87$

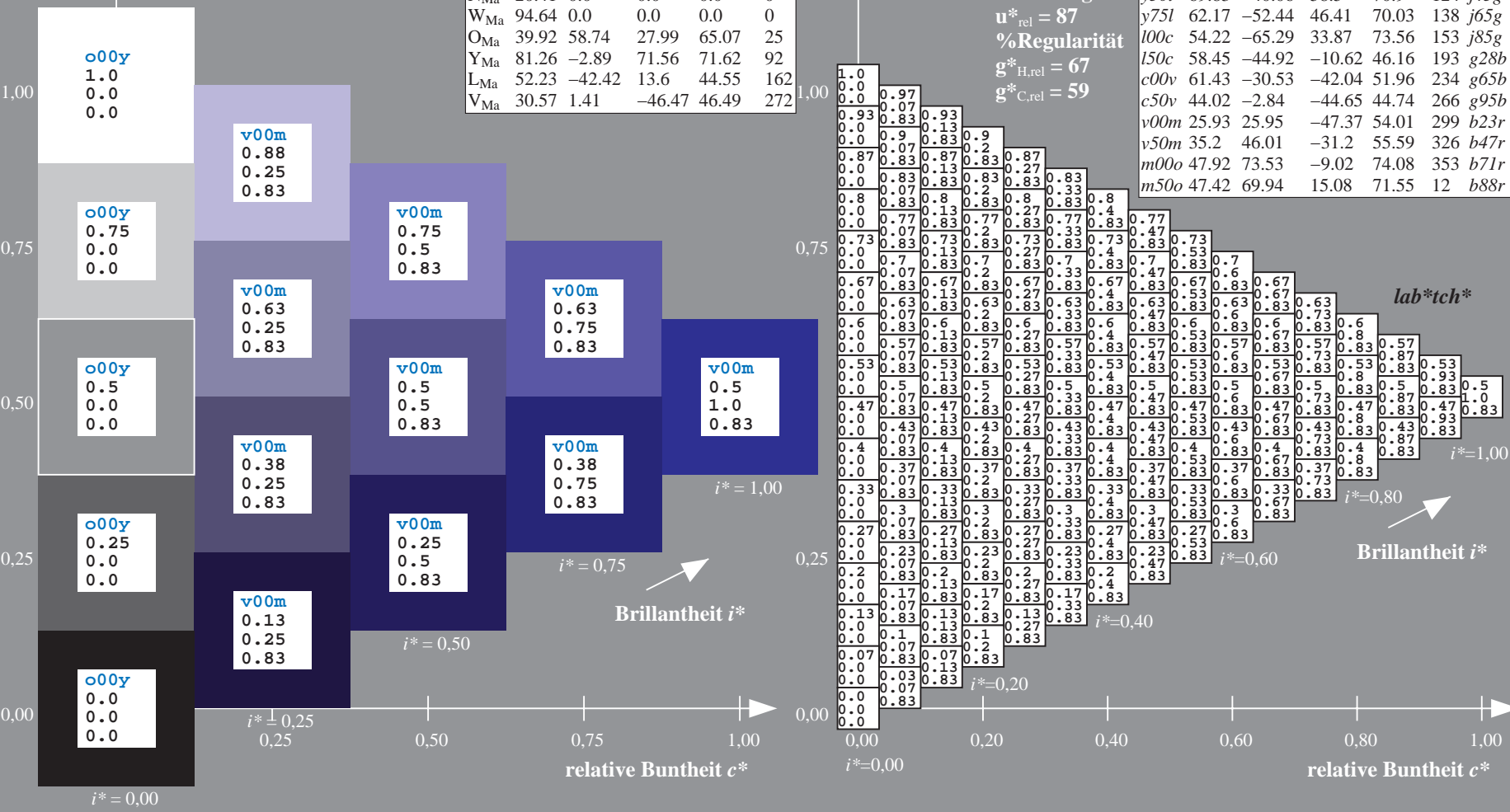
%Regularität

$g^*_{H,rel} = 67$

$g^*_{C,rel} = 59$

ORS20_95a; adaptierte CIELAB-Daten

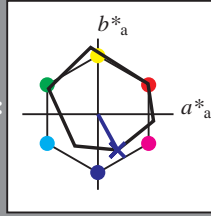
	u^*_d	$L^*=L^*_a$	a^*_a	b^*_a	$C^*_{ab,a}$	$h^*_{ab,a}$	u^*_e
o00y	46.89	66.19	40.28	77.48	31	r09j	
a25y	57.13	47.6	52.04	70.52	48	r33j	
a50y	66.36	30.85	62.62	69.81	64	r57j	
o75y	76.18	13.03	73.89	75.03	80	r81j	
y00l	88.66	-9.62	88.21	88.73	96	j06g	
y25l	78.19	-26.54	71.69	76.45	110	j25g	
y50l	69.83	-40.06	58.5	70.9	128	j45g	
y75l	62.17	-52.44	46.41	70.03	134	j65g	
l00c	54.22	-65.29	33.87	73.56	153	j85g	
l50c	58.45	-44.92	-10.62	46.16	193	g28b	
c00v	61.43	-30.53	-42.04	51.96	234	g65b	
c50v	44.02	-2.84	-44.65	44.74	266	g95b	
v00m	25.93	25.95	-47.37	54.01	299	b23r	
v50m	35.2	46.01	-31.2	55.59	326	b47r	
m00o	47.92	73.53	-9.02	74.08	353	b71r	
m50o	47.42	69.94	15.08	71.55	12	b88r	



BAM-Registrierung: 20081001-Fg58/10L/L58g00NP.PDF/.PS BAM-Material: Code=rhatha
Anwendung für Beurteilung und Messung von Drucker- oder Monitorssystemen

Ein und Ausgabe: Farbmetrisches Drucker-Reflektiv-System ORS20_95, L*=20_95 für relative CIELAB-Buntton $h^* = lab^*h^* = h_{ab}^*/360 = 0.83$

Daten für jede Farbe:
 lab^*ch^* und lab^*icu^*
 Bunttontexte:
 $u^*_d = v00m$ $u^*_e = b23r$
 Kontrastreduzierungsfaktor:
 $c_R = 1.0$
 Dreiecks-Helligkeit i^*



ORS20_95a; adaptierte CIELAB-Daten

	u^*_d	$L^*=L^*_a$	a^*_a	b^*_a	$C^*_{ab,a}$	$h^*_{ab,a}$
O _{Ma}	46.89	66.19	40.28	77.48	31	
Y _{Ma}	88.66	-9.62	88.21	88.73	96	
L _{Ma}	54.22	-65.29	33.87	73.56	153	
C _{Ma}	61.43	-30.53	-42.04	51.96	234	
V _{Ma}	25.93	25.95	-47.37	54.01	299	
M _{Ma}	47.92	73.53	-9.02	74.08	353	
N _{Ma}	24.41	0.0	0.0	0.0	0	
W _{Ma}	90.64	0.0	0.0	0.0	0	
O _{Ma}	39.92	58.74	27.99	65.07	25	
Y _{Ma}	81.26	-2.89	71.56	71.62	92	
L _{Ma}	52.23	-42.42	13.6	44.55	162	
V _{Ma}	30.57	1.41	-46.47	46.49	272	

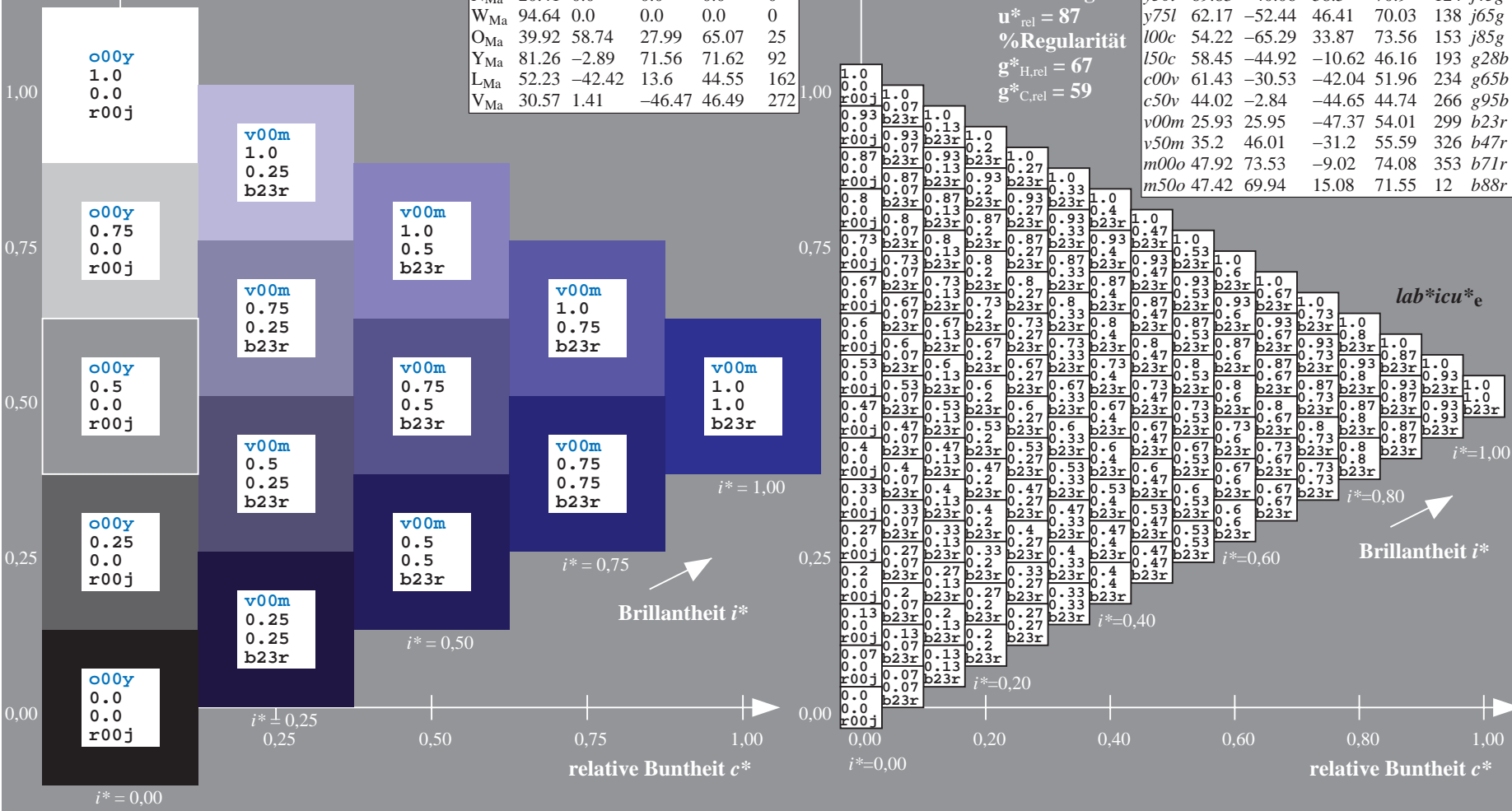
Daten für Maximalfarbe (Ma):

$LAB^*LAB^*_{Ma}$: 26 26 -47
 $LAB^*LCH^*_{Ma}$: 26 54 298
 $lab^*olv^*_{Ma}$: 0.0 0.0 1.0
 $lab^*rgb^*_{Ma}$: 0.47 0.0 1.0

ORS20_95a; adaptierte CIELAB-Daten

	u^*_d	$L^*=L^*_a$	a^*_a	b^*_a	$C^*_{ab,a}$	$h^*_{ab,a}$	u^*_e
o00y	46.89	66.19	40.28	77.48	31		r09j
a25y	57.13	47.6	52.04	70.52	48		r33j
a50y	66.36	30.85	62.62	69.81	64		r57j
o75y	76.18	13.03	73.89	75.03	80		r81j
y00l	88.66	-9.62	88.21	88.73	96		j06g
y25l	78.19	-26.54	71.69	76.45	110		j25g
y50l	69.83	-40.06	58.5	70.9	128		j45g
y75l	62.17	-52.44	46.41	70.03	134		j65g
l00c	54.22	-65.29	33.87	73.56	153		j85g
l50c	58.45	-44.92	-10.62	46.16	193		g28b
c00v	61.43	-30.53	-42.04	51.96	234		g65b
c50v	44.02	-2.84	-44.65	44.74	266		g95b
v00m	25.93	25.95	-47.37	54.01	299		b23r
v50m	35.2	46.01	-31.2	55.59	326		b47r
m00o	47.92	73.53	-9.02	74.08	353		b71r
m50o	47.42	69.94	15.08	71.55	12		b88r

Dreiecks-Helligkeit i^*
 %Umfang
 $u^*_{rel} = 87$
 %Regularität
 $g^*_{H,rel} = 67$
 $g^*_{C,rel} = 59$



Siehe ähnliche Dateien: <http://www.ps.bam.de/Fg58/>; www.ps.bam.de/Version.2.1,io=1,1,Colspx=1
 Technische Information: <http://www.ps.bam.de>

BAM-Registrierung: 20081001-Fg58/10L/L58g00NP.PDF/.PS BAM-Material: Code=rhatha
 Anwendung für Beurteilung und Messung von Drucker- oder Monitorssystemen

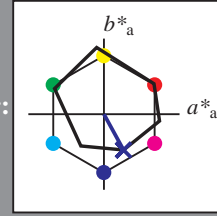
Ein und Ausgabe: Farbmetrisches Drucker-Reflektiv-System ORS20_95, L*=20_95 für relative CIELAB-Buntton $h^* = lab^*h^* = h_{ab}/360 = 0.83$ $u^*_d = v00m$

Daten für jede Farbe: lab^*ch^* und lab^*icu^*

Bunttontexte: $u^*_d = v00m$ $u^*_e = b23r$

Kontrastreduzierungsfaktor: $c_R = 1.0$

Dreiecks-Helligkeit i^*



ORS20_95; CIELAB-Daten

	u^*_d	$L^*=L^*$	a^*	b^*	C^*_{ab}	h^*_{ab}
O _M	46.89	66.08	41.48	78.02	32	97
Y _M	88.66	-10.34	90.28	90.87	97	97
L _M	54.22	-65.51	35.22	74.38	152	97
C _M	61.43	-30.85	-40.54	50.94	233	97
V _M	25.93	26.15	-46.61	53.44	299	97
M _M	47.92	73.41	-7.8	73.82	354	97
N _M	20.41	0.28	0.64	0.7	66	97
W _M	94.64	-0.81	2.2	2.34	110	97
O _M	39.92	58.74	27.99	65.07	25	97
Y _M	81.26	-2.89	71.56	71.62	92	97
L _M	52.23	-42.42	13.6	44.55	162	97
V _M	30.57	1.41	-46.47	46.49	272	97

Daten für Maximalfarbe (Ma):

$LAB^*LAB^*_Ma: 26\ 26\ -47$

$LAB^*LCH^*_Ma: 26\ 54\ 298$

$lab^*olv^*_Ma: 0.0\ 0.0\ 1.0$

$lab^*rgb^*_Ma: 0.47\ 0.0\ 1.0$

Dreiecks-Helligkeit i^*

%Umfang

$u^*_{rel} = 87$

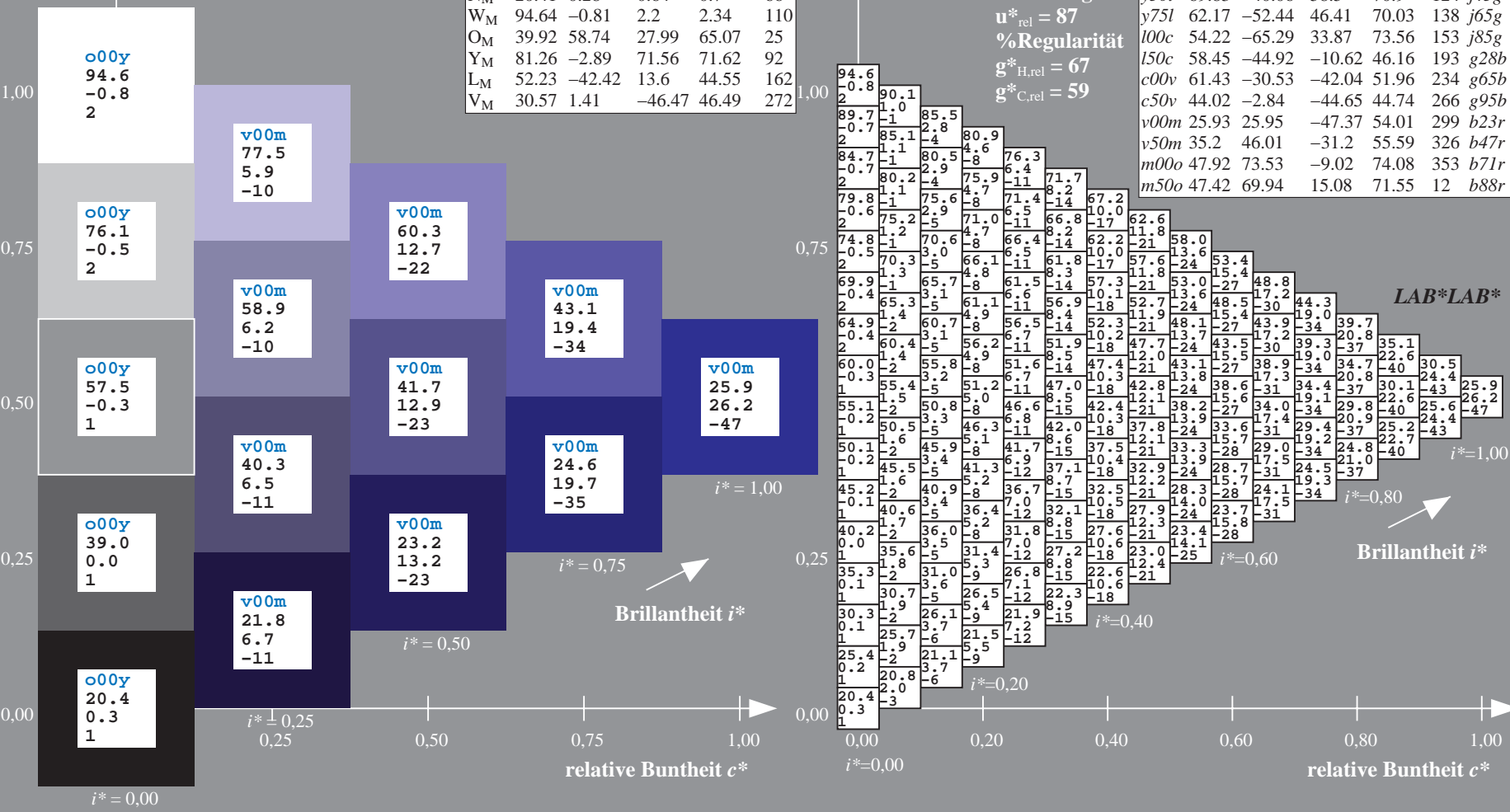
%Regularität

$g^*_{H,rel} = 67$

$g^*_{C,rel} = 59$

ORS20_95a; adaptierte CIELAB-Daten

	u^*_d	$L^*=L^*_a$	a^*_a	b^*_a	$C^*_{ab,a}$	$h^*_{ab,a}$	u^*_e
o00y	46.89	66.19	40.28	77.48	31	r09j	
o25y	57.13	47.6	52.04	70.52	48	r33j	
o50y	66.36	30.85	62.62	69.81	64	r57j	
o75y	76.18	13.03	73.89	75.03	80	r81j	
y00l	88.66	-9.62	88.21	88.73	96	j06g	
y25l	78.19	-26.54	71.69	76.45	110	j25g	
y50l	69.83	-40.06	58.5	70.9	128	j45g	
y75l	62.17	-52.44	46.41	70.03	134	j65g	
l00c	54.22	-65.29	33.87	73.56	153	j85g	
l50c	58.45	-44.92	-10.62	46.16	193	g28b	
c00v	61.43	-30.53	-42.04	51.96	234	g65b	
c50v	44.02	-2.84	-44.65	44.74	266	g95b	
v00m	25.93	25.95	-47.37	54.01	299	b23r	
v50m	35.2	46.01	-31.2	55.59	326	b47r	
m00o	47.92	73.53	-9.02	74.08	353	b71r	
m50o	47.42	69.94	15.08	71.55	12	b88r	



BAM-Registrierung: 20081001-Fg58/10L/L58g00NP.PDF/.PS BAM-Material: Code=rh4ta
Anwendung für Beurteilung und Messung von Drucker- oder Monitorssystemen

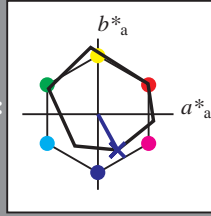
Ein und Ausgabe: Farbmetrisches Drucker-Reflektiv-System ORS20_95, L*=20_95 für relative CIELAB-Bunnton $h^* = lab^*h^* = h_{ab}/360 = 0.83$ $u^*_d = v00m$

Daten für jede Farbe: lab^*tch^* und lab^*icu^*

Bunntontexte: $u^*_d = v00m$ $u^*_e = b23r$

Kontrastreduzierungsfaktor: $c_R = 1.0$

Dreiecks-Helligkeit i^*



ORS20_95a; CIELAB-Daten						
u^*_d	$L^*=L^*$	a^*	b^*	C^*_{ab}	h^*_{ab}	
O _M	46.89	66.08	41.48	78.02	32	
Y _M	88.66	-10.34	90.28	90.87	97	
L _M	54.22	-65.51	35.22	74.38	152	
C _M	61.43	-30.85	-40.54	50.94	233	
V _M	25.93	26.15	-46.61	53.44	299	
M _M	47.92	73.41	-7.8	73.82	354	
N _M	20.41	0.28	0.64	0.7	66	
W _M	94.64	-0.81	2.2	2.34	110	
O _M	39.92	58.74	27.99	65.07	25	
Y _M	81.26	-2.89	71.56	71.62	92	
L _M	52.23	-42.42	13.6	44.55	162	
V _M	30.57	1.41	-46.47	46.49	272	

Daten für Maximalfarbe (Ma):

$LAB^*LAB^*_{Ma}$: 26 26 -47

$LAB^*LCH^*_{Ma}$: 26 54 298

$lab^*olv^*_{Ma}$: 0.0 0.0 1.0

$lab^*rgb^*_{Ma}$: 0.47 0.0 1.0

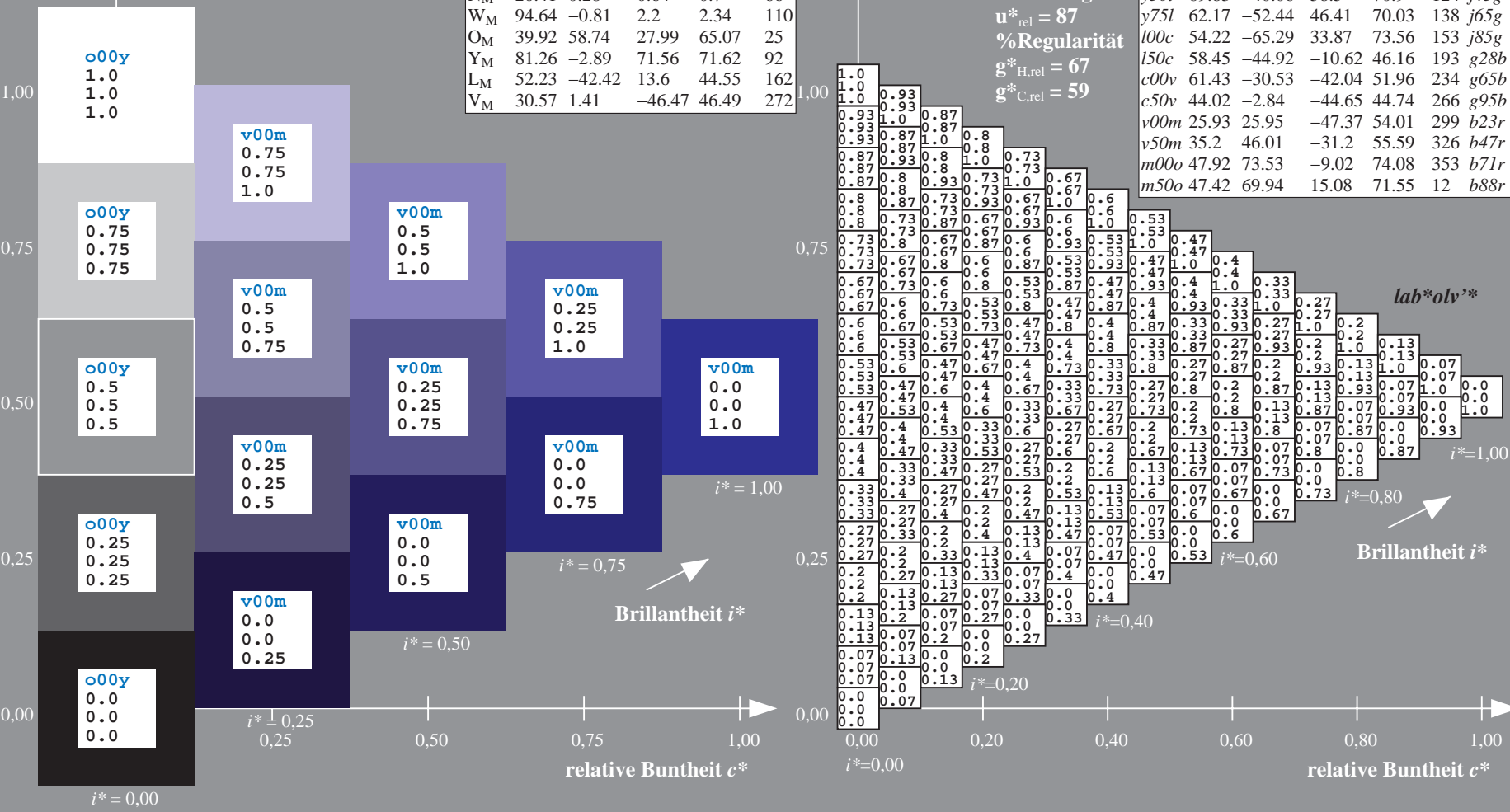
Dreiecks-Helligkeit i^*

%Umfang $u^*_{rel} = 87$

%Regularität $g^*_{H,rel} = 67$

$g^*_{C,rel} = 59$

ORS20_95a; adaptierte CIELAB-Daten							
u^*_d	$L^*=L^*_a$	a^*_a	b^*_a	$C^*_{ab,a}$	$h^*_{ab,a}$	u^*_e	
o00y	46.89	66.19	40.28	77.48	31	r09j	
a25y	57.13	47.6	52.04	70.52	48	r33j	
a50y	66.36	30.85	62.62	69.81	64	r57j	
o75y	76.18	13.03	73.89	75.03	80	r81j	
y00l	88.66	-9.62	88.21	88.73	96	j06g	
y25l	78.19	-26.54	71.69	76.45	110	j25g	
y50l	69.83	-40.06	58.5	70.9	128	j45g	
y75l	62.17	-52.44	46.41	70.03	134	j65g	
l00c	54.22	-65.29	33.87	73.56	153	j85g	
l50c	58.45	-44.92	-10.62	46.16	193	g28b	
c00v	61.43	-30.53	-42.04	51.96	234	g65b	
c50v	44.02	-2.84	-44.65	44.74	266	g95b	
v00m	25.93	25.95	-47.37	54.01	299	b23r	
v50m	35.2	46.01	-31.2	55.59	326	b47r	
m00o	47.92	73.53	-9.02	74.08	353	b71r	
m50o	47.42	69.94	15.08	71.55	12	b88r	



Siehe ähnliche Dateien: <http://www.ps.bam.de/Fg58/>; www.ps.bam.de/Version.2.1,io=1,1,Colspx=1

BAM-Registrierung: 20081001-Fg58/10L/L58g00NP.PDF/.PS BAM-Material: Code=rhatha
Anwendung für Beurteilung und Messung von Drucker- oder Monitorssystemen

Ein und Ausgabe: Farbmetrisches Drucker-Reflektiv-System ORS20_95, L*=20_95 für relativen CIELAB-Buntton $h^* = lab^*h^* = h_{ab}/360 = 0.83$

Daten für jede Farbe:

lab^*tch^* und lab^*icu^*

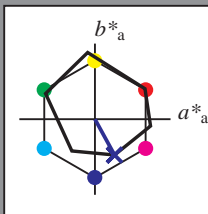
Bunttontexte:

$u^*_d = v00m$ $u^*_e = b23r$

Kontrastreduzierungsfaktor:

$c_R = 1.0$

Dreiecks-Helligkeit i^*



ORS20_95a; CIELAB-Daten

u^*_d	$L^*=L^*$	a^*	b^*	C^*_{ab}	h^*_{ab}
O _M	46.89	66.08	41.48	78.02	32
Y _M	88.66	-10.34	90.28	90.87	97
L _M	54.22	-65.51	35.22	74.38	152
C _M	61.43	-30.85	-40.54	50.94	233
V _M	25.93	26.15	-46.61	53.44	299
M _M	47.92	73.41	-7.8	73.82	354
N _M	20.41	0.28	0.64	0.7	66
W _M	94.64	-0.81	2.2	2.34	110
O _M	39.92	58.74	27.99	65.07	25
Y _M	81.26	-2.89	71.56	71.62	92
L _M	52.23	-42.42	13.6	44.55	162
V _M	30.57	1.41	-46.47	46.49	272

Daten für Maximalfarbe (Ma):

$LAB^*LAB^*_{Ma}$: 26 26 -47

$LAB^*LCH^*_{Ma}$: 26 54 298

$lab^*olv^*_{Ma}$: 0.0 0.0 1.0

$lab^*rgb^*_{Ma}$: 0.47 0.0 1.0

Dreiecks-Helligkeit i^*

%Umfang

$u^*_{rel} = 87$

%Regularität

$g^*_{H,rel} = 67$

$g^*_{C,rel} = 59$

$u^*_d = v00m$
 $LAB^*cmy^n^*$

ORS20_95a; adaptierte CIELAB-Daten

u^*_d	$L^*=L^*_a$	a^*_a	b^*_a	$C^*_{ab,a}$	$h^*_{ab,a}$	u^*_e
o00y	46.89	66.19	40.28	77.48	31	r09j
o25y	57.13	47.6	52.04	70.52	48	r33j
a50y	66.36	30.85	62.62	69.81	64	r57j
o75y	76.18	13.03	73.89	75.03	80	r81j
y00l	88.66	-9.62	88.21	88.73	96	j06g
y25l	78.19	-26.54	71.69	76.45	110	j25g
y50l	69.83	-40.06	58.5	70.9	128	j45g
y75l	62.17	-52.44	46.41	70.03	134	j65g
l00c	54.22	-65.29	33.87	73.56	153	j85g
l50c	58.45	-44.92	-10.62	46.16	193	g28b
c00v	61.43	-30.53	-42.04	51.96	234	g65b
c50v	44.02	-2.84	-44.65	44.74	266	g95b
v00m	25.93	25.95	-47.37	54.01	299	b23r
v50m	35.2	46.01	-31.2	55.59	326	b47r
m00o	47.92	73.53	-9.02	74.08	353	b71r
m50o	47.42	69.94	15.08	71.55	12	b88r

